



Semnan University

## Journal of Transportation Infrastructure Engineering

Journal homepage: <https://jtie.semnan.ac.ir/?lang=en>

ISSN: 2821-0549



### Research Article

# Investigating the Effect of Using Polyurethane Nanocomposites on Modification of Bitumen Properties

Sayed Reza Sajadi<sup>a</sup>, Gholamali Shafabakhsh<sup>b\*</sup>, Hassan Divandari<sup>c</sup>

<sup>a</sup> PhD Candidate of Road and Transportation, Faculty of Civil Engineering, Semnan University, Semnan, I. R. Iran.

<sup>b</sup> Professor, Department of Road and Transportation, Faculty of Civil Engineering, Semnan University, Semnan, I. R. Iran.

<sup>c</sup> Assistant Professor, Department of Civil Engineering, Central Tehran Branch, Islamic Azad University, Tehran, I. R. Iran.

---

#### PAPER INFO

##### **Paper history:**

Received: 2023-12-17

Revised: 2024-01-30

Accepted: 2024-02-29

---

##### **Keywords:**

Polyurethane;  
NCO-terminated  
polyurethane;  
CNT;  
Modification  
of bitumen.

---

#### ABSTRACT

Bitumen, as one of the constituent elements of asphalt, plays an important role in the properties and performance of asphalt as well as its longevity and stability. However, its structure requires modification due to low mechanical properties, limited thermal stability, and susceptibility to cracking under environmental conditions. In this study, in order to increase the strength and flexibility, improving functional and thermal properties, enhance adhesion, and prevent phase separation, a modifier based on NCO-terminated polyurethane/CNT were used. For this purpose, NCO-terminated polyurethane pre-polymer was prepared, and then CNTs were added to it at 0.5%, 1%, and 1.5% wt.%. Based on tensile and TGA tests, the sample containing 1.5% nanoparticles was selected as the optimum nanocomposite and subsequently combined with bitumen and then it was mixed with bitumen at 2, 4, 6 and 8 percent. FTIR test confirmed the chemical bonds between the nanocomposite and bitumen. To investigate the properties and performance of the resulting samples, morphological analysis, viscometry (RV) test, and rheological (DSR) tests for fatigue resistance and rutting under environmental conditions were performed. Also, results of multiple stress creep-recovery (MSCR) test was compared with results of rheology analysis and it was shown that the presence of nanocomposite in the structure of bitumen increased the elasticity and cohesion of the modified bitumen structure. It reduces the negative effects caused by the increase in stress and temperature in bitumen properties and the nanocomposite prepared in this research can be used as a suitable option to improve bitumen performance at high and medium temperatures.

---

\* Corresponding author.

E-mail address: [ghshafabakhsh@semnan.ac.ir](mailto:ghshafabakhsh@semnan.ac.ir)

**How to cite this article:** Sajadi, S. R., Shafabakhsh, G. A., & Divandari, H. (2024). Investigating the Effect of Using Polyurethane Nanocomposites on Modification of the Properties of Bitumen. *Journal of Transportation Infrastructure Engineering*, 10(1), 39-62. <https://doi.org/10.22075/jtie.2024.33303.1665>



## مجله زیرساخت‌های حمل و نقل

وبسایت نشریه <https://jtie.semnan.ac.ir/?lang=en>

شایعه ۲۸۲۱-۰۵۴۹

مقاله پژوهشی

### بررسی تأثیر استفاده از نانوکامپوزیت پلی‌یورتانی بر اصلاح خواص قیر

سیدرضا سجادی<sup>۱</sup>، غلامعلی شفابخش<sup>\*</sup><sup>۲</sup>، حسن دیواندری<sup>۳</sup>

<sup>۱</sup>دانشجوی دکتری راه و ترابری، دانشکده مهندسی عمران، دانشگاه سمنان، سمنان، ایران

<sup>۲</sup>استاد، گروه راه و ترابری، دانشکده مهندسی عمران، دانشگاه سمنان، سمنان، ایران

<sup>۳</sup>استادیار، گروه عمران، دانشکده مهندسی عمران و منابع زمین، واحد تهران مرکزی، دانشگاه آزاد اسلامی، تهران، ایران

#### چکیده

قیر به عنوان یکی از اجزای تشکیل دهنده آسفالت، نقش مهمی در خواص و عملکرد آسفالت و همچنین عمر و پایداری آن دارد. اما ساختار آن به دلیل خواص مکانیکی نامطلوب، پایداری حرارتی محدود و عدم مقاومت در برابر ترک‌خوردگی تحت شرایط محیطی نیاز به اصلاح دارد. در این تحقیق، با هدف افزایش استحکام و انعطاف‌پذیری، بهبود خصوصیات عملکردی حرارتی، افزایش چسبندگی و جلوگیری از جدایی فازی اصلاح‌کننده و قیر از پلی‌یورتان منتهی به گروه عاملی ایزوسیانات حاوی نانولوله‌های کربنی استفاده شد. به این منظور، ابتدا پیش‌پلیمر یورتانی منتهی به گروه عاملی ایزوسیانات تهیه شده و سپس نانولوله‌های کربنی به میزان ۰/۵ و ۱/۰ درصد وزنی به آن اضافه شد. بر اساس آزمون تنش کششی و آنالیز گرمایزن‌سنجدی، نمونه حاوی ۱/۵ درصد نانوذره به عنوان نانوکامپوزیت بهینه انتخاب شده و در ادامه با مقادیر ۲، ۴، ۶ و ۸ درصد قیر ترکیب شد. آزمون FTIR ایجاد پیوندهای شیمیایی بین نانوکامپوزیت و قیر را تأیید کرد. جهت بررسی خواص و عملکرد نمونه‌های حاصل، آنالیز مورفوولوژی، آزمون ویسکومتری (RV)، آزمون رئومتر برش دینامیک (DSR) و همچنین آزمایش خزش و بازگشت در چند سطح تنش (MSCR) انجام شد. نتایج حاصل از این آزمون‌ها نشان داد که حضور نانوکامپوزیت در ساختار قیر باعث افزایش الاستیسیته و بهم پیوستگی ساختار قیر شده و اثرات منفی ناشی از افزایش تنش و دما در خواص قیر را کاهش می‌دهد و نانوکامپوزیت تهیه شده در این پژوهش می‌تواند به عنوان گزینه‌ای مناسب جهت بهبود عملکرد قیر در دمای زیاد و متوسط به کار رود.

#### اطلاعات مقاله

دریافت مقاله: ۱۴۰۲/۰۹/۲۶

بازنگری مقاله: ۱۴۰۲/۱۱/۱۰

پذیرش مقاله: ۱۴۰۲/۱۲/۱۰

#### واژگان کلیدی:

پلی‌یورتان، پلی‌یورتان

منتھی به گروه عاملی

ایزوسیانات،

نانولوله‌های کربنی،

اصلاح خواص قیر

\* پست الکترونیک نویسنده مسئول: ghshafabakhsh@semnan.ac.ir

استناد به این مقاله: سجادی، سیدرضا، شفابخش، غلامعلی & دیواندری، حسن. (۱۴۰۳). بررسی تأثیر استفاده از نانوکامپوزیت پلی‌یورتانی بر اصلاح خواص قیر. مهندسی زیر ساخت‌های حمل و نقل، ۱۰(۱)، ۳۹-۶۲.

و تمایل زیاد پلیمرهای پلی‌اتیلن و پلی‌پروپیلن به بلورینگی، توجه محققان را به استفاده از پلیمرهای با قابلیت ایجاد پیوند شیمیایی با قیر جلب کرده است (بهنود و قره‌وران، ۲۰۱۹).

اصلاح قیرها از طریق ایجاد پیوند شیمیایی با عامل تقویت‌کننده یکی از راه‌های مقابله با جدایی فازی قیر با عامل تقویت‌کننده است. ترپلیمرها یا پلیمر مشکل از سه منومر متفاوت اتیلن و گلیسیدیل متاکریلات از مثال‌های پلیمرهای فعال مورد استفاده در اصلاح قیر می‌باشند (مسعد و همکاران، ۲۰۲۰). پلی یورتان<sup>۱</sup>‌های متنه شده به گروههای ایزوسیانات آزاد یکی دیگر از این نوع اصلاح‌کننده‌ها بوده که امکان ایجاد پیوند شیمیایی از طریق گروههای ایزوسیانات با گروههای هیدروکسیل موجود در ساختار قیر را فراهم می‌سازند و از جدایی فازی قیر و پلی یورتان در دمای زیاد جلوگیری می‌کنند (عیسی و همکاران، ۲۰۲۲). در واقع، طی فرآیند اعمال گرما، پلی یورتان واکنش‌پذیری به مولکول‌های موجود در قیر را افزایش داده و باعث ایجاد پیوند‌های مولکولی محکم‌تر و افزایش چسبندگی می‌شود (تنگ و همکاران، ۲۰۲۳). پلی یورتان متنه به ایزوسیانات به عنوان یک پلیمر پیشرفت‌های واکنش‌پذیر، خصوصیات منحصر‌به‌فردی را به سیستم قیر افزوده و عملکرد آن را بهبود می‌بخشد (کونگ و همکاران، ۲۰۱۹). استفاده از این افزودنی به دلیل توانایی بهبود مقاومت به فشار و حرارت، نقطه انعطاف‌پذیری بالا و افزایش دوام در مقابل عوامل جوی و شیمیایی و همچنین از نظر اقتصادی و کارآمدی ثابت شده است (هوانگ و همکاران، ۲۰۲۲). علاوه بر این، اصلاح قیر با پلی یورتان‌ها سبب القای خواص ذاتی پلی‌یورتان‌ها نظیر مقاومت شیمیایی زیاد و پایداری حرارتی مناسب به قیر می‌شود (مرشا و سندکی، ۲۰۲۲). به عنوان مثال، در محیط‌های با تغییرات دمایی شدید، افروزان پلی یورتان به قیر باعث افزایش پایداری حرارتی و کاهش

## ۱. مقدمه

قیر یکی از اجزای اصلی آسفالت‌های شهری و برون-شهری است که تأثیر بهسزایی در خصوصیات نهایی آسفالت دارد. از جمله مشکلات عمدۀ قیرها می‌توان به خواص مکانیکی نامطلوب، مقاومت کم در برابر ترک-خوردگی و پایداری حرارتی کم اشاره کرد (حامدی و همکاران، ۲۰۲۰). در دهه‌های اخیر، به‌منظور بهبود عملکرد و ویژگی‌های فیزیکی قیر، رویکردهای نوینی در زمینه اصلاح و تقویت این ماده حیاتی صورت گرفته است. یکی از روش‌های مرسوم و تأیید شده جهت اصلاح قیر، ترکیب آن با پلیمرها می‌باشد (لیو و همکاران، ۲۰۲۲). پلیمرهای مورد استفاده جهت اصلاح خواص قیر می‌توانند به دو دسته عمده پلیمرهای فعال و پلیمرهای غیرفعال تقسیم شوند. پلیمرهای غیرفعال تنها به صورت فیزیکی با قیر محلول می‌شوند و پیوند شیمیایی با ساختار آن بر قرار نمی‌کنند. از سوی دیگر، پلیمرهای فعال با قیر واکنش می‌دهند تا پیوند‌های شیمیایی ایجاد کنند (مصری و همکاران، ۲۰۲۲). فعالیت و دسته بندی این پلیمرها به وجود گروههای عاملی‌ای در آن‌ها باز می‌گردد که قادر به ایجاد اتصالات با مولکول‌های قیر باشند (ونگ و همکاران، ۲۰۲۲). بر این اساس، پلیمرهای مختلف نظری استایرن بوتادین استایرن، اتیلن وینیل استات، پلی‌اتیلن و پلی‌پروپیلن در بیشتر گزارش‌های علمی و صنعتی به عنوان پلیمر غیرفعال و جهت اصلاح فیزیکی قیر مورد استفاده قرار گرفته‌اند (براسیلیرو، ۲۰۱۹). با این حال، ترکیب فیزیکی قیر با افزودنی پلیمری منجر به جدایی فاز در دمای زیاد، پایداری حرارتی کم و مقاومت کم در برابر اکسیداسیون و اشعه فرابنفش می‌شود که از مهم‌ترین معایب این افزودنی‌های پلیمری می‌باشد (کوک و همکاران، ۲۰۲۱). علاوه بر این، هزینه زیاد در مواردی چون استایرن بوتادین استایرن، بهبود غیرقابل توجه خواص الاستیک در زمان استفاده از اتیلن وینیل استات

<sup>۱</sup>- Polyurethane (PU)

می‌بخشدند. در مواردی که CNT به مخلوط آسفالت اضافه می‌شود، عمر مفید راهها در برابر خرابی‌های ناشی از خوردگی و خستگی به شدت افزایش می‌یابد (یانگ و همکاران، ۲۰۱۹؛ یانگ و همکاران، ۲۰۲۲). افزودن CNT به قیر باعث افزایش خواص چسبندگی نیز می‌شود. برای مثال، مشاهده شده است که قیر تقویت شده با CNT در مواردی که به عنوان ترمیم کننده مورد استفاده قرار می‌گیرد، چسبندگی بهتری با سطح آسفالت ایجاد می‌کند و در موقع بارش باران یا برف، این تقویت باعث کاهش احتمال خرابی‌های ناشی از عریان شدنگی می‌شود (عشیش و سینگ، ۲۰۲۱؛ یانگ و همکاران، ۲۰۲۲). علاوه بر این، تحقیقات نشان می‌دهد که استفاده از CNT عامل‌دار شده با گروه هیدروکسیل به دلیل ایجاد پیوند با ماتریس پلیمر باعث بهبود عملکرد نانوکامپوزیت‌های پلی‌یورتان/CNT از جمله در خواص مکانیکی می‌شود (ونگ و همکاران، ۲۰۱۱).

هدف این تحقیق، بررسی و تحلیل تأثیر افزودنی پلی‌یورتان منتهی به ایزوسیانات- نانولوله‌های کربنی بر بهبود عملکرد مکانیکی، پایداری حرارتی و جلوگیری از جدایی فازی قیر و عامل تقویت کننده بوده است. از این‌رو، تهیه پلی‌یورتان‌های منتهی شده به گروه‌های ایزوسیانات در دستور کار قرار گرفت. در نهایت، قیرهای اصلاح شده از ادغام قیر با پلی‌یورتان‌های تهیه شده و نانوذرات CNT انجام شد.

## ۲. مواد و روش‌ها

### ۱-۲ مواد

نانوذرات CNT چند جداره (خلوص < ۹۵ درصد، طول  $\mu\text{m}$  ۳۰-۱۰ و قطر بیرونی nm ۳۰-۲۰) به صورت عامل‌دار شده با گروه‌های هیدروکسیلی تهیه شد. همچنین، حلال دی متیل فرمامید<sup>۲</sup> نیز تهیه شده و با

تغییرات ابعادی مواد می‌گردد (وی و همکاران، ۲۰۱۹). علت این مسئله، اثر استفاده از اصلاح کننده‌های قیر بر کلیه خواص آن به خصوص در جهت افزایش انعطاف و پایداری حرارتی قیر و همچنین تشکیل شبکه‌ای از پلیمر در ماتریس قیر می‌باشد که منجر به بهبود پایداری ابعادی قیر می‌شود (پورتو و همکاران، ۲۰۱۹). حضور پلی‌یورتان منتهی به ایزوسیانات می‌تواند خاصیت مقاومت به خوردگی سطحی را افزایش داده و عمر مفید سیستم را افزایش دهد (گونگ و همکاران، ۲۰۲۳). این پلیمر، در فرآیند اعمال حرارت، باعث افزایش چسبندگی به سطح آسفالت می‌شود و پایداری سطحی را بهبود می‌بخشد (لیو و همکاران، ۲۰۲۲).

اخیراً، استفاده از نانوذرات‌ها به منظور بهبود خواص مکانیکی و پایداری حرارتی قیرها مورد توجه بسیاری از محققان قرار گرفته است. نانوذرات به دلیل پایداری حرارتی زیاد، امکان تشکیل شبکه‌ای سه‌بعدی در بستر قیر و سطح تماس زیاد، امکان تقویت کننده‌گی قابل توجهی را در قیر فراهم آورده‌اند (ژامبولوا و همکاران، ۲۰۲۰). در گزارش‌های منتشر شده، نانوذرات با پایه سیلیکا، رس، سرامیک، اکسید فلزات، و نانوذرات آلی جهت اصلاح خواص قیر مورد استفاده قرار گرفته است (کاپوتو و همکاران، ۲۰۲۰). در میان نانوذرات بررسی شده، نانولوله‌های کربنی<sup>۱</sup> به عنوان یک افزودنی نانوساختار با خواص منحصر به فرد در عرصه مهندسی مواد جلب توجه کرده‌اند (ژو و همکاران، ۲۰۲۲). CNT به دلیل خواص ذاتی خود نظریه هدایت حرارتی و الکتریکی مناسب، استحکام کششی و فشاری زیاد و مقاومت شیمیایی قابل قبول بیشتر در تحقیقات مورد بررسی قرار گرفته است (الحق و همکاران، ۲۰۱۸؛ عابدی و همکاران، ۲۰۲۱؛ لی و همکاران، ۲۰۲۱ b). با توجه به ساختار استوانه‌ای CNT، این نانوذرات به خوبی مقاومت کششی را افزایش داده و چرمگی آسفالت را بهبود

<sup>۲</sup>- Dimethylformamide (DMF)

<sup>۱</sup>- Carbon Nanotube (CNT)

58-22 مورد استفاده قرار گرفت که مشخصات فیزیکی آن در جدول ۱ آورده شده است.

کمک کلسیم هیدرید، خشک و تقطیر شد و در ادامه متیلن دی فنیل دی ایزووسیانات<sup>۱</sup>، دی بوتیل تین دی استات<sup>۲</sup> و پلی اتیلن آدیپات ترفتالات<sup>۳</sup> ( $\sim 2000 \text{ gr/mol}$ ) آماده شد. در این پژوهش، قیر خالص نوع  $M_n$

جدول ۱ مشخصات قیر مورد استفاده

استاندارد آزمون	مقادیر	خصوصیات
ASTM D5	۸۱	درجه نفوذ ( $25^\circ\text{C}$ , $100 \text{ g}, 0/1 \text{ mm}$ )
ASTM D36	۴۸/۲	نقطه نرمی ( $^\circ\text{C}$ )
ASTM D1754	>۱۰۰	کشش پذیری
ASTM D99	۳۳۱	دمای نقطه اشتغال ( $^\circ\text{C}$ )
ASTM D70	۱۰۱۶	چگالی ( $\text{kg/m}^3$ )
ASTM D6	۰/۰۰۳	تغییر جرم (%)
ASTM D6	۶۳	نسبت نفوذ (%)
ASTM D113	>۱۰۰	کشش پذیری ( $25^\circ\text{C}$ , cm)
		آزمون اثر حرارت و هوا بر لایه نازک متحرک قیر

### ۳-۲. تهیه نانوکامپوزیت‌های پلی یورتان-نانولوله-

#### کربنی

برای تهیه نانوکامپوزیت‌های پلی یورتانی حاوی نانولوله‌های کربنی، ابتدا پیش‌پلیمر یورتانی متلهی به گروه‌های ایزووسیانات در حلal DMF خشک رقیق شده و سپس نانولوله‌های کربنی به آن اضافه شد. به طور خلاصه، ۱۰ گرم پیش‌پلیمر یورتانی و ۲۰ میلی لیتر DMF خشک به یک بالن دودهانه ته صاف مجهز به ورودی گاز نیتروژن، مبرد و همزن مغناطیسی اضافه شد. پس از انحلال کامل پیش‌پلیمر یورتانی در دمای محیط، مقادیر مشخصی از نانولوله‌های کربنی ( $0/۵$ ،  $۱/۰$  و  $۱/۵$  درصد وزنی) به محلول اضافه شد. پس از نیم ساعت، محلول به دست آمده به مدت ۱۰ دقیقه تحت همگن‌ساز اولتراسونیک با توان  $120 \text{ W}$  قرار گرفت تا نانوذرات به صورت همگن و یکنواخت در ماتریس پخش و توزیع شوند. در نهایت،

### ۲-۲. تهیه پیش‌پلیمر یورتانی متلهی به گروه عاملی ایزووسیانات

برای تهیه پیش‌پلیمر یورتانی متلهی به گروه عاملی ایزووسیانات،  $2/5$  گرم MDI به بالون سدههانه مجهز به ورودی گاز نیتروژن، مبرد و همزن مغناطیسی اضافه شد و  $30$  دقیقه در دمای  $50$  درجه سلسیوس حرارت داده شد. در ادامه،  $12/5$  گرم پلی اُل استری PBAT به همراه  $20$  میلی لیتر DMF خشک و سه قطره کاتالیزور DBDTA به بالون اضافه شد و واکنش به مدت  $24$  ساعت در دمای  $80$  درجه سلسیوس انجام شد تا پیش‌پلیمر یورتانی متلهی به گروه عاملی ایزووسیانات به دست آید و حلal موجود در مخلوط تحت خلا<sup>۱</sup> تبخیر شود.

<sup>۱</sup>- Polyethylene adipate terephthalate (PBAT)

<sup>۱</sup>- Methylene diphenyl diisocyanate (MDI)

<sup>۲</sup>- Dibutyltin diacetate (DBTDA)

انجام شد. در ادامه، عملکرد خصوصیات قیرهای اصلاح شده در دماهای زیاد (۵۸، ۶۴ و ۷۰ درجه سلسیوس) و دماهای متوسط (۱۹، ۲۲ و ۲۵ درجه سلسیوس) توسط آزمون رئومتر برش دینامیک<sup>۵</sup> به ترتیب برای قیرهای پیرشده کوتاه‌مدت با دستگاه آون دووار لایه نازک<sup>۶</sup> قیر و پیرشده بلندمدت با دستگاه پیرشدگی تحت فشار<sup>۷</sup> قیر مورد مطالعه قرار گرفت. همچنین، جهت ارزیابی دقیق‌تر عملکرد قیر و حساسیت قیرها در برابر تغییرشکل دائمی در دماهای زیاد پس از پیرکردن کوتاه‌مدت قیر با RTFO، از آزمون خزش و بازگشت در چند سطح تنش<sup>۸</sup> استفاده شد. در این آزمون نیز عملکرد قیرهای اصلاح شده در دماهای ۵۸، ۶۴ و ۷۰ درجه سلسیوس بررسی شد و نتایج با آزمون DSR مورد مقایسه قرار گرفت.

## ۶-۲ شناسایی

**۶-۲-۱. آزمون طیفسنجی تبدیل فوریه فروسرخ (FTIR) نمونه‌های قیری**

طیفسنجی مادون قرمز بر اساس جذب تابش و بررسی جهش‌های ارتعاشی مولکول‌ها و یون‌های چنداتمی صورت می‌گیرد. در این تحقیق، از دستگاه طیفسنجی مادون قرمز تبدیل فوریه<sup>۹</sup> به منظور شناسایی گروه‌های عاملی استفاده شد. نمونه‌های پودری همراه با پتانسیم برومید به صورت قرص تهیه شده و در محدوده عدد موجی دستگاه، یعنی  $4000-400\text{ cm}^{-1}$ ، با قدرت تفکیک  $4\text{ cm}^{-1}$  مورد آنالیز قرار گرفتند.

**۶-۲-۲. آزمون خواص مکانیکی نانوکامپوزیت پلیمری**

خواص مکانیکی نمونه‌های تهیه شده، با انجام آزمون کشش مورد ارزیابی قرار گرفته و با یکدیگر مقایسه

به منظور تهیه فیلم نانوکامپوزیت پلیمری<sup>۱</sup> (پلی‌یورتان-نانولوله‌های کربنی)، محلول حاصل شده در یک قاب تفلونی ریخته و در آون خلاً با دمای ۸۰ درجه سلسیوس قرار داده شد.

## ۲-۴. تهیه قیر حاوی نانوکامپوزیت پلیمری

به منظور تهیه قیر حاوی PNC، ابتدا محلول نانوکامپوزیت پلی‌یورتان حاوی ۱/۵ درصد وزنی نانولوله‌های کربنی مطابق قسمت قبل تهیه شد تا نمونه قیری حاوی نانوکامپوزیت پلیمری<sup>۲</sup> به دست آید. شایان ذکر است که به طور معمول، پلی‌یورتان و نانوکامپوزیت‌های مربوطه به میزان کمتر از ۱۰ درصد جهت اصلاح خواص به قیر اضافه می‌شوند و بیش از آن، علاوه بر اقتصادی نبودن، ماهیت قیر تغییر می‌کند. بنابراین، بر اساس تحقیقات قبلی و گزارش‌های موجود، صفر، ۲، ۴، ۶ و ۸ درصد از PNC بهینه به قیر افزوده شد (کوادری و همکاران، ۲۰۱۴؛ کاررا و همکاران، ۲۰۱۵؛ ژانگ و همکاران، ۲۰۲۱؛ کوک و همکاران، ۲۰۲۱). حال DMF مورد استفاده تحت خلاً تبخیر و مایع ویسکوز به دست آمده با نسبت مشخصی با قیر ترکیب شد.

## ۲-۵. روش کار

در این پژوهش پس از سنتز PU و مشخص کردن درصد بهینه نانوذره در PNC و ساخت آن، آماده سازی نمونه‌های قیری اصلاح شده با PU و PNC صورت گرفت و جهت بررسی ویسکوزیته قیر بنا بر توصیه روسازی آسفالتی با عملکرد عالی<sup>۳</sup> (Superpave)، آزمون ویسکوزیته دورانی<sup>۴</sup> قیر در دمای ۱۳۵ درجه سلسیوس

<sup>۵</sup>- Dynamic Shear Rheometer (DSR)

<sup>۶</sup>- Rolling Thin Film Oven (RTFO)

<sup>۷</sup>- Pressure Aging Vessel (PAV)

<sup>۸</sup>- Multi Stress Creep and Recovery (MSCR)

<sup>۹</sup>- Fourier Transform Infrared (FTIR)

<sup>۱</sup>- Polymer Nanocomposite (PNC)

<sup>۲</sup>- Bitumen-Polymer Nanocomposite Contain %1.5 Carbon Nanotube (B-PNC1.5)

<sup>۳</sup>- Superior Performing Asphalt Pavements

<sup>۴</sup>- Rotational Viscosity (RV)

ویسکوزیته مناسبی نباشد پوشش مناسبی صورت نمی-گیرد. همچنین، در هنگام عملیات تراکم نیز قیر باید دارای ویسکوزیته مناسبی باشد تا از طرفی کارایی مناسب را برای تراکم داشته باشد و از طرف دیگر در هنگام عبور غلتک پایدار بوده و جریان نیابد. بنابراین، تعیین ویسکوزیته قیر برای مشخص نمودن دمای مناسب اختلاط و تراکم ضروری است. مشخصات فنی روسازی برای قیرها الزام می‌کند که ویسکوزیته چرخشی قیر پیرنشده در دمای  $135^{\circ}\text{C}$  درجه سلسیوس حداکثر  $3 \text{ Pa.s}$  باشد که برای تضمین روانی کافی قیر در زمان کاربرد آن می‌باشد. آزمایش تعیین ویسکوزیته دورانی با استفاده از ASTM D4402 ویسکومتر چرخشی براساس استاندارد روی نمونه‌های قیری انجام گرفت.

#### ۶-۶-۲. آزمون رئومتر برش دینامیکی (DSR)

جهت بررسی مقاومت نمونه‌های قیری تهیه شده به تعییر شکل دائمی و خستگی، از آزمون رئومتری استفاده شد. این آزمون بر اساس ASTM D-7175 انجام شد. جهت شیوه‌سازی شرایط محیطی، از روش پیرشدگی PAV برای بررسی خستگی و از پیرشدگی کوتاه‌مدت با RTFO برای مطالعه خصوصیات شیارشدنگی<sup>۳</sup> استفاده شد. همچنین، بر اساس مشخصات فنی Superpave در این آزمون  $\text{G}^*/\text{Sin}\delta$  باید برای قیر اصلی حداقل  $1/100$  کیلوپاسکال، برای قیر پیرشده با RTFO حداقل  $2/20$  کیلوپاسکال بوده و  $\delta = \text{G}^*. \text{sin}\delta$  برای قیر پیرشده با PAV باید حداقل  $5000$  کیلوپاسکال باشد. آزمون رئومتر برش دینامیک برای توصیف رفتار ویسکوالاستیک چسبنده قیری استفاده می‌شود و پتانسیل شیارشدنگی و ترک-خوردگی آن را بررسی می‌کند. اصل اساسی مورد استفاده در آزمون DSR این است که چسبنده قیری مانند اجسام الاستیک، در دماهای کم و شبیه به یک مایع ویسکوز در

شدند. نمونه‌های تهیه شده با سرعت ثابت  $5 \text{ میلی متر بر دقیقه}$ ، در دمای اتاق تحت اعمال نیروی کششی قرار گرفتند. آزمون کشش، سه بار برای هر نمونه در شرایط کاملاً یکسان تکرار شد. بر این اساس، برای تمام نمونه‌ها بیشینه استحکام کششی و ازدیاد طول تا نقطه شکست به دست آمد. مدول یانگ نیز با اندازه‌گیری شبیه ناحیه خطی اولیه در منحنی تنش - کرنش برای هر نمونه با استفاده از قانون هوک<sup>۱</sup> محاسبه شد.

#### ۶-۳. آزمون خواص حرارتی پلیمر و نانوکامپوزیت پلیمری

در این پژوهش، برای ارزیابی پایداری حرارتی از آنالیز گرما وزن‌سنگی<sup>۲</sup> استفاده شد. نمونه‌های تهیه شده، با استفاده از دستگاه TGA مورد بررسی قرار گرفتند. این آنالیز در محدوده دمای اتاق تا  $600^{\circ}\text{C}$  درجه سلسیوس و در اتمسفر هوا با سرعت  $10^{\circ}\text{C}.\text{min}^{-1}$  انجام شد.

#### ۶-۴. آزمون میکروسکوپ الکترونی روبشی (SEM) نانوکامپوزیت پلیمری

در این پژوهش، به منظور بررسی ریخت‌شناسی نمونه‌های تهیه شده و نیز چگونگی پخش PNC اصلاح-کننده در قیر از میکروسکوپ الکترونی روبشی<sup>۳</sup> استفاده گردید و پیش از آزمون، سطح نمونه با استفاده از طلا پوشش داده شد.

#### ۶-۵. آزمون ویسکوزیته (RV)

جهت بررسی قوام و یا سیالیت نمونه‌های قیری تهیه شده، از آزمون ویسکوزیته استفاده شد. ویسکوزیته قیر در دماهایی که مورد استفاده قرار می‌گیرد، نیاز به بررسی دارد. در هنگام اختلاط قیر با مصالح سنگی، اگر قیر دارای

<sup>3</sup>- Scanning Electron Microscope (SEM)

<sup>4</sup>- Rutting

<sup>1</sup>- Hook's law

<sup>2</sup>- Thermogravimetric Analysis (TGA)

عملکرد مقاومت نمونه‌های قیری در برابر شیارشدنگی و همچنین به دلیل اینکه آزمایش DSR در سطوح پائین تنش انجام می‌گیرد و به جهت لزوم ارزیابی دقیق‌تر عملکرد شبکه و پیوندهای پلیمری به وجود آمده ناشی از افزودن اصلاح‌کننده‌های پلیمری در خصوصیات شیارشدنگی چسباننده‌های قیری، آزمایش MSCR انجام AASHTO شد. در این آزمایش، مطابق با استاندارد T350 یک نمونه قیر به قطر ۲۵ میلی‌متر در سطح تنش‌های ۱۰، کیلوپاسکال و ۳/۲ کیلوپاسکال و در ۱۰ سیکل برای هر سطح تنش شامل یک ثانیه بارگذاری و ۹ ثانیه استراحت در دماهای عملکردی زیاد توسط دستگاه رئومتر برش دینامیک قرار گرفت. نرمی خوشی بازگشت-نایپذیر ( $J_{nr}$ ) و درصد بازگشت الاستیک ( $R$ ) برای هر سیکل به دست می‌آید.  $J_{nr}$  حساسیت قیر نسبت به تنش-های اعمالی را نشانگر بوده و به عنوان جایگزینی برای پارامتر شیارشدنگی ( $G^*/\sin\delta$ ) پیشنهاد شده و مقدار کمتر آن نشان‌دهنده مقاومت بیشتر قیر در برابر پدیده شیارشدنگی است. همچنین، افزایش میزان  $R$  بیان‌کننده کرنش‌های الاستیک بیشتر در نمونه‌های قیری خواهد بود. در ادامه، پارامتر دیگری در این آزمایش به دست می‌آید که بیان‌گر کرنش تجمعی غیرقابل بازگشت ( $J_{nr-diff}$ ) چسباننده بوده که مقادیر کمتر آن نشان‌دهنده حساسیت کمتر قیر به تغییر تنش‌های اعمالی است (لیو و همکاران، ۲۰۲۱).

### ۸-۶-۲ آزمون‌های پرشدنگی

پرشدنگی قیرهای اصلاح‌شده با استفاده از آزمون اثر حرارت و هوا بر لایه نازک متحرک قیر بر اساس استاندارد ASTM D1754 و آزمون محفظه تسریع پرشدنگی بر اساس استاندارد ASTM D6521 ASTM انجام شده است. آزمون اثر حرارت و هوا بر لایه نازک متحرک قیر (RTFO)، پرشدنگی کوتاه‌مدت قیر را در جریان اختلاط با سنگدانه‌ها و در دوره تولید آسفالت شبیه‌سازی

دمای زیاد رفتار می‌کند. این رفتارها را می‌توان با اندازه-گیری مدول مختلط ( $G^*$ ) و زاویه فاز ( $\delta$ ) چسبنده قیری تحت دما و فرکانس بارگذاری خاص به دست آورد. پارامترهای  $G^*$  و  $\delta$  به وسیله آزمون DSR با استفاده از نیروی پیچشی‌ای وارد بر چسبنده قیری با ضخامت کم، که بین یک صفحه ثابت و یک صفحه دوار وجود دارد، اندازه گیری می‌شود.  $G^*$  به عنوان نسبت تنش برشی به کرنش برشی و  $\delta$  به عنوان زمان تأخیری که بین تنش و کرنش در چسبنده قیری وجود دارد، تعریف می‌شود. این خصوصیات در دماهای زیاد و متوسط تعیین می‌شوند. در این آزمون، پتانسیل شیارشدنگی به وسیله ارزیابی پارامتر شیارشدنگی ( $G^*/\sin\delta$ ) تعریف می‌شود. مقدار  $G^*/\sin\delta$  بیشتر در چسبنده قیری نشان‌دهنده حساسیت کمتر مخلوط آسفالتی به شیارشدنگی می‌باشد. آزمون DSR برای بررسی پتانسیل شیارشدنگی روی نمونه‌های پرنسپد و پرشدده کوتاه‌مدت انجام می‌شود. همچنین، چسبنده قیری با آزمون DSR برای تعیین پتانسیل ترک-خوردگی خستگی در مخلوط آسفالتی گرم نیز آزمایش می‌شود. پتانسیل خستگی با پارامتر خستگی تحت عنوان  $G^*\sin\delta$  تعریف می‌شود. این به این دلیل است که می‌توان نشان داد تحت یک فرآیند با کرنش کنترل شده، کار انجام شده برای خستگی مناسب با  $\delta \cdot \sin\delta$  است. از این‌رو، مقدار کمتر  $\delta \cdot \sin\delta$  به معنی پتانسیل کمتر ترک‌خوردگی خستگی می‌باشد. از آنجایی که به علت پرشدگی و سپس سفت شدن چسبنده قیری در طول دوره سرویس‌دهی آن صورت می‌گیرد، آزمون DSR روی نمونه‌های پرشدده با PAV انجام می‌شود (مالیک و الکورچی، ۲۰۲۲).

### ۷-۶-۲ آزمایش بازگشت خزشی در چند سطح تنش (MSCR)

آزمایش بازگشت خزشی در چند سطح تنش (MSCR) به منظور بررسی میزان حساسیت قیر در دماهای زیاد و

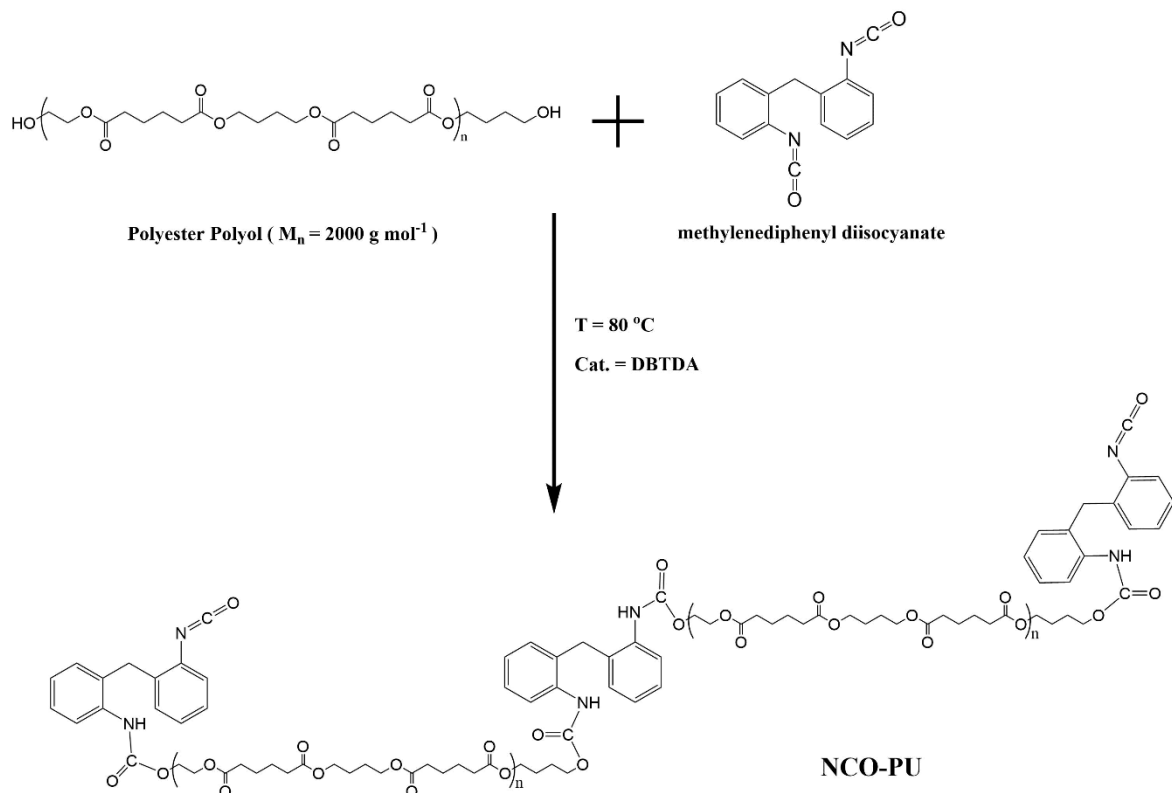
تهیه شد و در ادامه قیر اصلاح شده با نانوکامپوزیت بهینه پلی یورتان-CNT تهیه شد. مسیر سنتزی پلی یورتان‌های متنه‌ی شده به گروه‌های ایزوسیاناتی در شکل ۱ نشان داده شده است.

می‌کند. در حالی که محفظه تسریع پیرشدگی (PAV)، پیرشدگی بلندمدت قیر را در مدت زمان سرویس دهی نشان می‌دهد (رحمان، ۲۰۱۶).

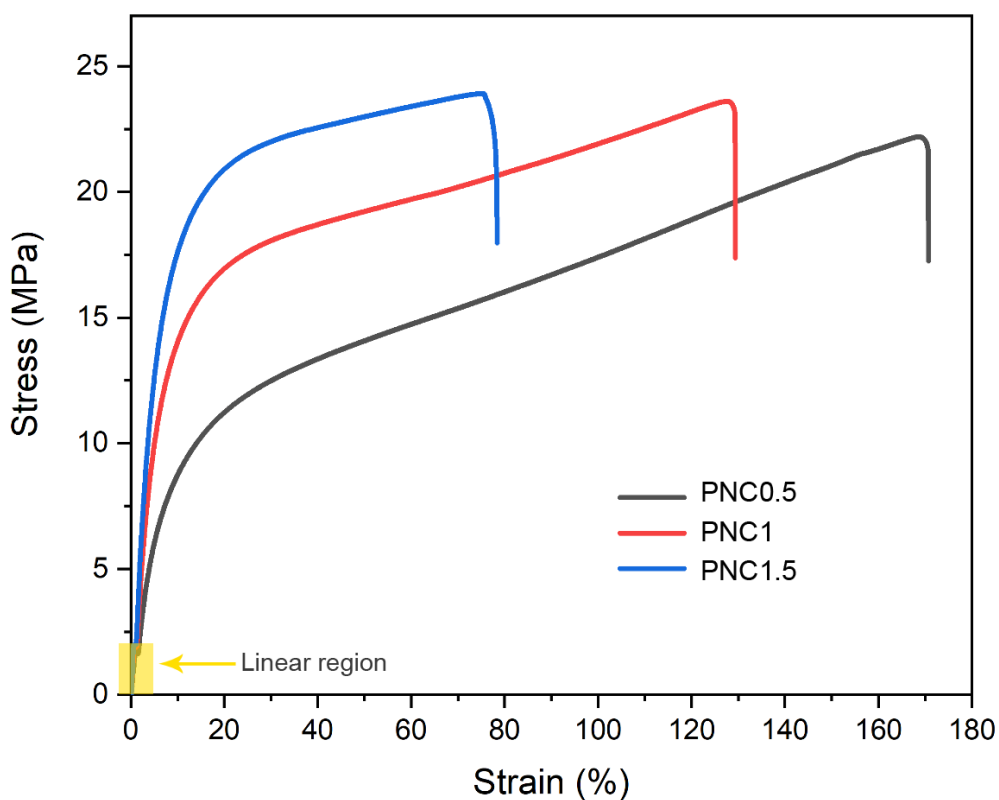
### ۳. نتایج و بحث

**۱-۳. آزمون کشش نانو کامپوزیت‌های PNC**  
جهت بررسی خواص مکانیکی نانوکامپوزیت‌های تهیه شده، از آزمون کشش استفاده شد و نتایج به دست آمده از آن در شکل ۲ و جدول ۲ گزارش شده است.

به منظور اصلاح خواص فیزیکی - مکانیکی و حرارتی قیر، ابتدا به بررسی خواص فیزیکی - مکانیکی و حرارتی نانوکامپوزیت‌های پلی یورتان متنه‌ی به گروه عاملی ایزوسیانات - CNT پرداخته شد تا بهترین فرمولاسیون این نانوکامپوزیت انتخاب شود. در این راستا، کامپوزیت‌های پلی یورتانی با درصدهای صفر، ۰/۵، ۱ و ۱/۵ CNT



شکل ۱. مسیر سنتزی پلی یورتان‌های متنه‌ی به گروه‌های ایزوسیانات



شکل ۲. نمودار تنش-کرنش نانوکامپوزیت‌های PNC

جدول ۲. نتایج استخراج شده از آزمون کشش نانوکامپوزیت‌های PNC

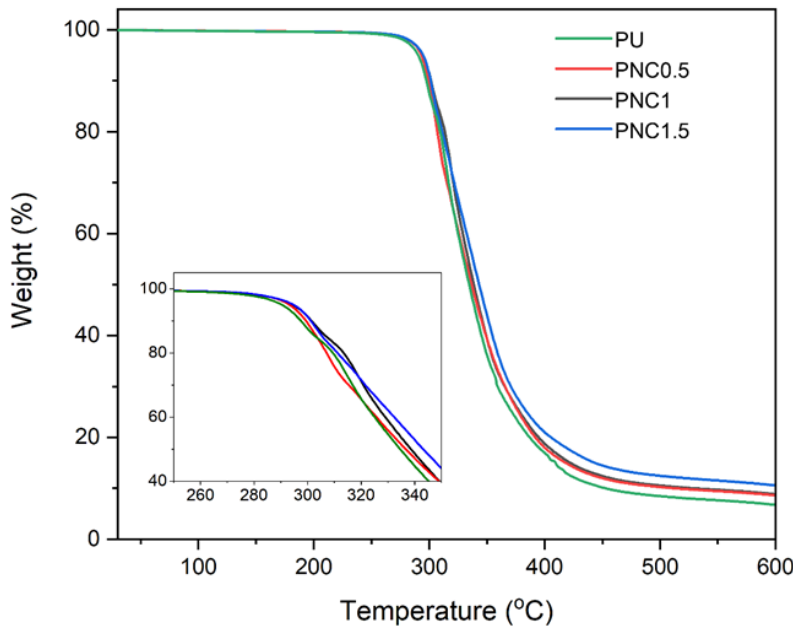
نمونه	استحکام کششی (MPa)	مدول یانگ (MPa)	ازدیاد طول (٪)
PNC0.5	۱/۲۲	۲/۱۶۲	۷/۱۷۰
PNC1	۵/۲۳	۱/۲۷۲	۳/۱۲۹
PNC1.5	۹/۲۳	۳/۳۶۴	۳/۷۸

یافته و سبب افزایش مدول و استحکام کششی شده است. با بهبود خواص مکانیکی نانوکامپوزیت تهیه شده، می‌توان انتظار داشت که رفتار و عملکرد قیر اصلاح شده با نانوکامپوزیت بهبود یابد.

### ۲-۳ آزمون TGA

پایداری حرارتی نانوکامپوزیت‌های تهیه شده با استفاده از آزمون TGA بررسی شد و نتایج آن در شکل ۳ نشان داده شده است.

براساس نتایج بدست آمده، نانوکامپوزیت PNC0.5 دارای استحکام کششی و مدول یانگ به ترتیب در حدود ۲۲ و ۱۶۲ مگاپاسکال بوده است. با افزایش میزان CNT در فرمولاسیون پلی‌یورتان، استحکام کششی و مدول یانگ افزایش قابل توجهی یافته است. به طوری که استحکام کششی و مدول یانگ نانوکامپوزیت ۱.۵ به ترتیب به ۲۴ و ۳۶۴ مگاپاسکال رسیده است. این افزایش می‌تواند در نتیجه تشکیل شبکه سه‌بعدی نانوذرات CNT در بستر ماتریس پلیمری بوده که با افزایش میزان CNT شبکه سه‌بعدی تشکیل شده بهبود



شکل ۳. نمودار TGA پلی یورتان و نانوکامپوزیت‌های مربوطه

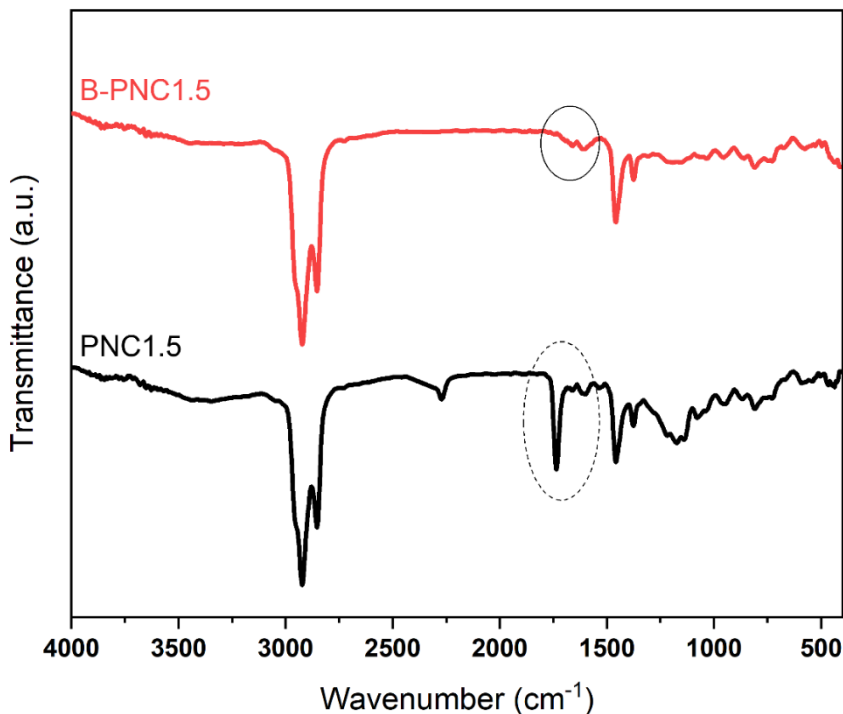
پلی یورتان-CNT (PNC1.5) و قیر اصلاح شده با نانوکامپوزیت پلی یورتان-CNT (B-PNC1.5) از آزمون FTIR استفاده شد. طیف FTIR نانوکامپوزیت B-PNC1.5 و PNC1.5 در شکل ۴ نشان داده شده است. در طیف FTIR نانوکامپوزیت PNC1.5 حضور یک پیک در ناحیه  $1690\text{ cm}^{-1}$  مربوط به همپوشانی ارتعاشات کششی  $\text{C=O}$  باند یورتان تشکیل شده و پیوندهای استری موجود در ساختار پلی‌استر پلی‌آل می‌باشد (موهانتی و همکاران، ۲۰۲۳). پیک‌های مشاهده شده در ناحیه  $2800-2900\text{ cm}^{-1}$  مربوط به ارتعاشات خمی C-H است (استرن، ۲۰۱۹). پس از اضافه شدن نانوکامپوزیت PNC1.5 به قیر در نمونه B-PNC1.5 حضور پیک مربوط به ارتعاشات کششی  $\text{C=O}$  باند استر و یورتان نانوکامپوزیت در  $1620\text{ cm}^{-1}$  تأییدی بر حضور ساختارهای یورتانی در قیر می‌باشد.

پلی یورتان خالص سنتز شده دارای پایداری حرارتی در حدود ۲۸۵ درجه سلسیوس بوده است. با اضافه شدن نانوذرات CNT به فرمولاسیون پلی یورتان، شروع فرآیند تخریب پلی یورتان حاوی ۰/۵ درصد نانوذرات CNT تا دمای ۲۸۹ افزایش یافته و خاکستر<sup>۱</sup> باقیمانده از فرآیند تخریب آن برابر با ۱۰ درصد بوده است. با افزایش میزان نانوذرات CNT در فرمولاسیون پلی یورتان، پایداری حرارتی افزایش یافته و تخریب با شبکه کندتری پیش رفته است. به طوری که شروع تخریب برای نمونه PNC1.5 برابر با ۲۹۳ درجه سلسیوس بوده است و خاکستر باقیمانده از فرآیند تخریب آن برابر با ۱۱٪ بوده که نشان‌دهنده بهبود پایداری حرارتی پلی یورتان با ۱/۵ درصد CNT بوده است. بر اساس نتایج بدست آمده از آزمون کشش و TGA نانوکامپوزیت PNC1.5 به عنوان نمونه بهینه جهت اصلاح خصوصیات قیر استفاده شد.

### ۳-۴. آزمون FTIR

جهت شناسایی ساختار شیمیایی نانوکامپوزیت‌های

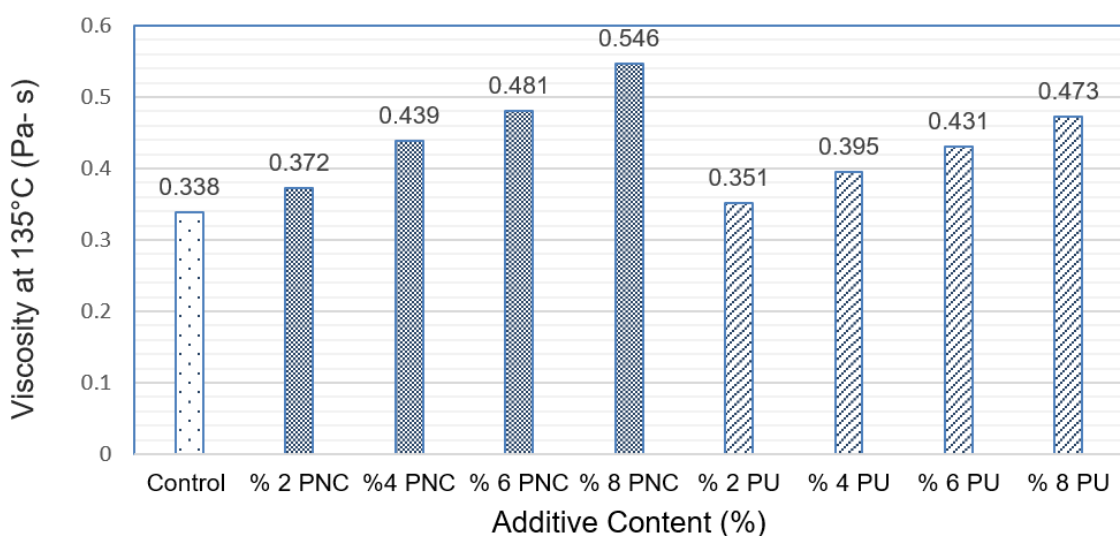
<sup>۱</sup>- Ash



شکل ۴. طیف FTIR نمونهای  $PNC_{1.5}$  و  $B-PNC_{1.5}$

۴-۳. آزمون سنجش ویسکوزیته آزمون ویسکوزیته دورانی برای ۹ نمونه در دمای  $135^{\circ}\text{C}$  صورت گرفت و نتایج قیرهای اصلاح شده با قیر شاهد مقایسه گردید.

شیفت این ارتعاشات به طول موج های کمتر ناشی از تشکیل پیوندهای هیدروژنی میان کربونیل های باند است و یورتان با هیدروکسیل و مولکول های آب ناشی از رطوبت موجود در ساختار قیر می باشد.



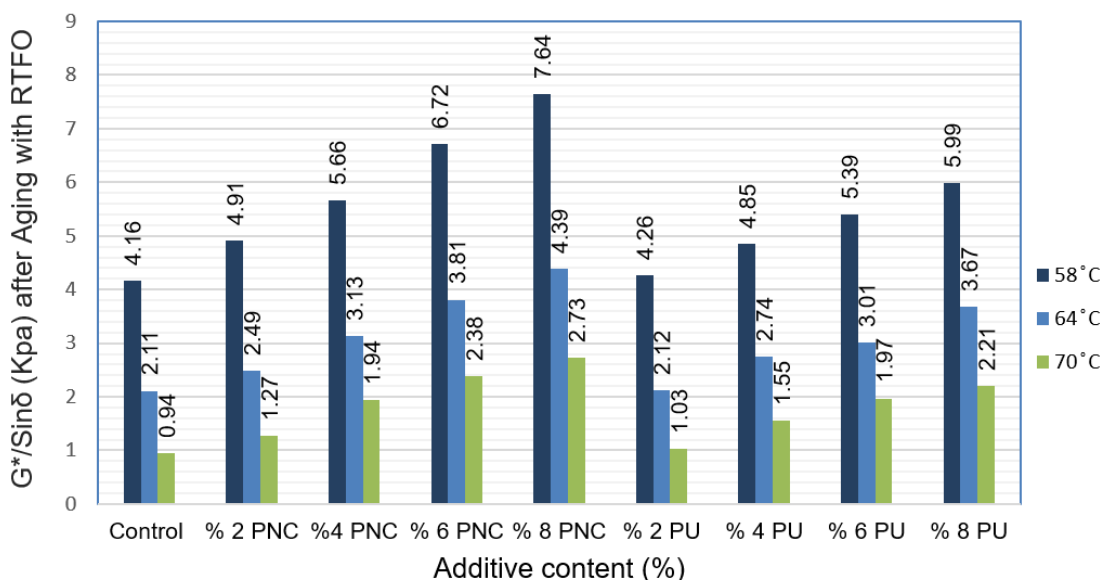
شکل ۵. نتایج آزمون ویسکومتری

مطابق با الزامات مشخصات فنی Superpave برای قیرها می‌باشد.

### ۵-۳. آزمون رئومتر برش دینامیک (DSR)

خروچی آزمایش DSR برای نمونه‌های قیری پس از پیرش‌دگی با دستگاه RTFO به منظور ارزیابی شاخصه‌های شیارشده‌گی مورد بررسی قرار گرفت. نتایج حاصل از آزمایش DSR برای قیرهای پیرشده با RTFO در شکل ۶ برای سه دمای مختلف نشان داده شده‌اند.

همانطور که از شکل ۵ مشخص است، میزان ویسکوزیته در هر دو سری نمونه نسبت به قیر شاهد افزایش یافته است. اما قیرهای با افروندنی نانوکامپوزیت پلیمری نسبت به قیرهای با افروندنی پلی یورتان از ویسکوزیته بیشتری برخوردار بوده که علت این امر می‌تواند علاوه بر برهمکنش بین گروه ایزوسیانات انتهای پلی یورتان و قیر، زیاد شدن ذاتی ویسکوزیته افروندنی نانوکامپوزیت در حضور نانولوله‌های کربن در اثر تشکیل شبکه‌ای سه‌بعدی باشد که در سایر گزارش‌ها نیز روند مشابهی از افزایش ویسکوزیته در حضور نانوکامپوزیت‌های حاوی CNT مشاهده شده است (قریشی و همکاران، ۲۰۲۰؛ ژین و همکاران، ۲۰۲۰). همچنین، نتایج تمامی نمونه‌ها



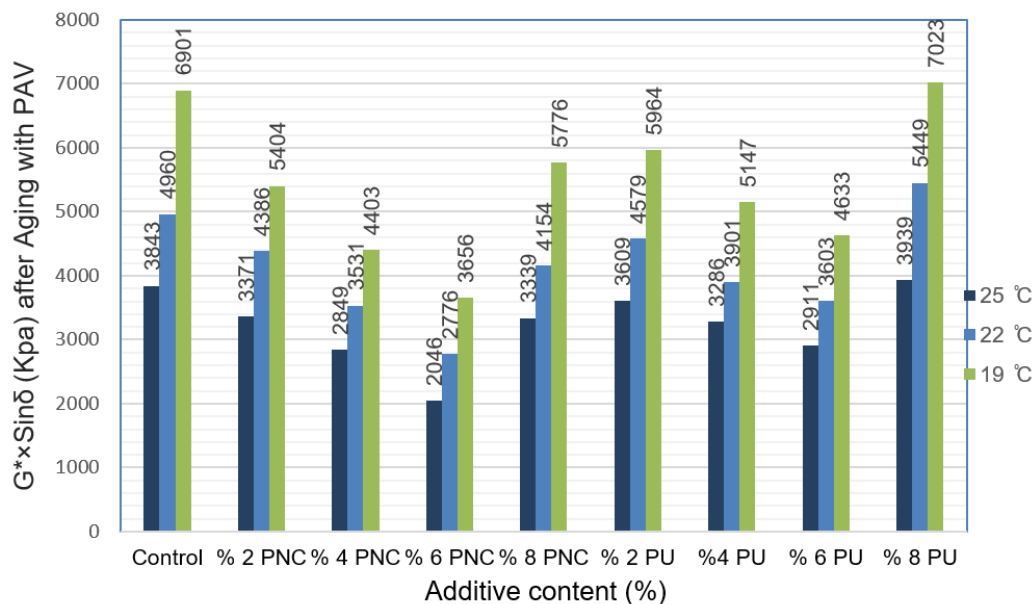
شکل ۶ نتایج پارامتر شیارشده‌گی حاصل از آزمون DSR

درصد نانوکامپوزیت پلیمری و ۸ درصد پلی یورتان می‌باشد که دمای زیاد عملکردی را از ۵۸ به ۷۰ درجه سلسیوس ارتقا داده‌اند. به منظور بررسی عملکرد قیر در برابر ترک‌خوردگی‌های ناشی از خستگی در دمای میانی نتایج پارامتر  $G^*/\sin\delta$  نمونه‌های قیری مقایسه گردید. نتایج برای عملکرد مناسب قیرها در دمای میانی شارپ برای محدودیت  $G^*\sin\delta \leq 5000$  kpa توصیه کرده است که بر این اساس به وسیله پارامتر  $G^*\sin\delta$  می‌توان

نتایج حاصل نشان می‌دهد که اثر نانوکامپوزیت پلیمری در قیر خالص 58-22 PG نسبت به عملکرد نمونه‌های اصلاح شده با پلی یورتان بهتر بوده است. همانطور که از شکل ۶ مشخص است، با افزایش پلی یورتان و نانوکامپوزیت پلیمری روند صعودی پارامتر  $G^*/\sin\delta$  افزایش داشته و عملکرد دمای زیاد قیر خالص را بهبود بخشیده است. بهترین نتایج مربوط به نمونه‌های با ۶ و ۸

بخش الاستیک ماده افزایش پیدا می‌کند. علاوه بر آن، حضور پلیمر باعث افزایش بهم پیوستگی در ساختار قیر می‌شود که در نتیجه مقاومت به شیارشده را بهبود می‌دهد. از آنجایی که افزایش دما باعث نرم شدن قیر می‌شود، این افزایش به هم پیوستگی در ساختار باعث بهبود رفتار قیر از نقطه نظر شیارشده را در دماهای بیشتر می‌شود.

مقاومت خستگی در قیر را بررسی کرد (سامال، ۲۰۲۲). شکل ۷، نتایج پارامتر  $G^* \sin\delta$  به دست آمده از آزمون DSR در دماهای ۲۵، ۲۲ و ۱۹ درجه سلسیوس را نشان می‌دهد. این آزمون برای بررسی خصوصیات ویسکوالاستیک قیر روی قیرهای پیشده با PAV صورت پذیرفت. نتایج نشان می‌دهد که با افزایش افزودنی‌ها در قیر خالص تا ۶ درصد، روند بهبود پارامتر خستگی افزایش یافته که بهترین نتیجه مربوط به نمونه اصلاح شده با ۶ درصد نانوکامپوزیت پلیمری بوده است. با افزودن پلیمر و نانوکامپوزیت پلیمری به قیر،



شکل ۷. نتایج پارامتر خستگی حاصل از آزمون DSR

حاوی نانوکامپوزیتی نسبت به نمونه‌های اصلاح شده با پلی‌یورتان و قیر خالص می‌تواند به همین دلیل باشد.

### ۶-۳. آزمون خزش و بازگشت در چند سطح تنش (MSCR)

این آزمایش در دماهای ۵۸، ۶۴ و ۷۰ درجه سلسیوس صورت پذیرفت تا محدوده بیشتری از دماهای زیاد مورد

از آنجایی که پلی‌یورتان‌ها دارای رفتار ویسکوالاستیک بوده، افزودن پلی‌یورتان به قیر منجر به بهبود عملکرد قیر در برابر خستگی شده است. با افزودن نانوذرات به پلی‌یورتان، رفتار الاستیک در نانوکامپوزیت‌ها افزایش می‌باید که سبب مقاومت بیشتر در برابر تغییرشکل و افزایش  $G^*$  می‌شود. این افزایش می‌تواند به دلیل تشکیل شبکه سه‌بعدی از نانوذرات در ماتریس پلیمری باشد. افزایش مقاومت به خستگی در نمونه‌های

قیر خالص، درصد  $J_{nr\_diff}$  روند کاهشی داشته که نشان-دهنده این است که افزایش درصد اصلاح کننده‌های قیری در این تحقیق باعث کاهش حساسیت نمونه‌های قیری اصلاح شده به تغییرات در سطح تنش شده است و بهترین نتیجه مربوط به بیشترین درصد از نمونه قیری اصلاح شده با پلی یورتان و نانو کامپوزیت پلیمری بوده و بیانگر این است که نمونه‌های ساخته شده با اصلاح کننده حساسیت کمتری نسبت به تغییرات در سطح تنش در مقایسه با نمونه شاهد را دارند. پلی یورتان-ها دارای استحکام مکانیکی بالایی بوده که ناشی از حضور بخش‌های سخت که غالباً ناشی از حضور ساختارهای آروماتیک و تشکیل پیوندهای فیزیکی میان زنجیرهای خود می‌باشد. اصلاح قیر با زنجیرهای پلی-یورتانی فعال حاوی گروه‌های انتهایی ایزوسیاناتی منجر به بهبود بهم پیوستگی و افزایش استحکام مکانیکی و مقاومت به تنش اعمالی شده است. این رفتار در نمونه‌های کامپوزیتی مشهودتر بوده که ناشی از تشکیل شبکه‌ای سه‌بعدی قوی از نانوذرات CNT در ماتریس پلی-یورتانی بوده که مقاومت بیشتر به تنش اعمالی را به دنبال داشته است.

جدول ۳. مقادیر درصد بازگشت الاستیک نمونه‌های قیری در سطوح مختلف تنش و دما

بررسی قرار گیرد. آزمایش در سطح تنش‌های ۰/۱ و ۲/۲ کیلوپاسکال و برای هر کدام ۱۰ سیکل بارگذاری با دستگاه رئومتر برش دینامیک اعمال شد. نرمی خزشی بازگشت‌ناپذیر و درصد بازگشت الاستیک در هر سطح تنش محاسبه شد. به دلیل اینکه برخی نتایج در دمای ۶۴ درجه سلسیوس حداقل وزامت Superpave را برآورده ننمود، آزمایش در دمای ۷۰ درجه سلسیوس به جهت صرفه‌جویی در هزینه‌ها انجام نگرفت. در نهایت، نتایج مربوط به درصد بازگشت الاستیک و نرمی خزشی بازگشت‌ناپذیر نمونه‌های قیری حاصل از آزمایش MSCR در دما و سطوح مختلف تنش به ترتیب در جدول ۳ و جدول ۴ ارائه شده است.

همچنین، جدول ۴، مقادیر نرمی خزشی بازگشت‌ناپذیر را در سطوح ۱۰۰ و ۳۲۰۰ پاسکال نشان می‌دهد. با افزودن نانوکامپوزیت پلیمری و پلی یورتان به قیر خالص،  $J_{nr}$  در هر ستون از یک دما، کاهش یافته است که این نشانه مقاومت بهتر نمونه‌های ساخته شده یا حساسیت کمتر به شیارشدنگی می‌باشد. با بررسی نتایج  $J_{nr\_diff}$  که بیانگر حساسیت قیر به تنش‌های اعمالی می‌باشد، مشخص شد که با افزایش درصد اصلاح کننده‌ها به

	R_۳/۲ (%)				R_۰/۱ (%)				نوع قیر اصلاح شده
	دما آزمایش (C)		دما آزمایش (C)		دما آزمایش (C)		دما آزمایش (C)		
	۷۰	۶۴	۵۸	۷۰	۶۴	۵۸	۷۰	۶۴	
-	۰/۹۲	۲/۸۷	-	-	۴/۸۶	۹/۳۹	-	-	Control
-	۲/۹۷	۴/۸۱	-	-	۱۱/۱۳	۱۴/۲۵	-	-	PNC٪
۱/۷۳	۵/۲۱	۸/۳	۷/۹۵	۱۴/۵۲	۲۰/۱	-	-	-	PNC٪
۳/۲۲	۷/۰۴	۱۱/۰۱	۱۱/۳۷	۱۷/۲۱	۲۴/۳۹	-	-	-	PNC٪
۵/۰۹	۱۰/۳۷	۱۳/۹۶	۱۵/۶۷	۲۳/۹۱	۲۹/۷۷	-	-	-	PNC٪
-	۳/۹۳	۵/۹۷	-	۱۳/۲۱	۱۶/۲۵	-	-	-	PU٪
۲/۳۵	۷/۱۵	۱۰/۵۶	۹/۸۴	۱۸/۳۶	۲۵/۸۴	-	-	-	PU٪
۴/۶۴	۹/۸۴	۱۳/۲۳	۱۳/۸۱	۲۲/۸۹	۲۸/۶۵	-	-	-	PU٪
۷/۹۵	۱۲/۶۷	۱۸/۶۷	۱۸/۶۸	۲۷/۱۱	۳۶/۰۳	-	-	-	PU٪

جدول ۴. مقادیر نرمی خزشی بازگشت‌نایدیر و کرنش تجمعی غیر قابل بازگشت در سطوح مختلف تنش و دما

دهای آزمایش (°C)			MSCR پارامترهای آزمایش	نوع قیر اصلاح شده
۷۰	۶۴	۵۸		
-	۴/۰۱	۱/۶۲	$J_{nr(\cdot,\cdot)}(kp)^{-1}$	
-	۶/۹۸	۲/۶۷	$J_{nr(\tau,\tau)}(kp)^{-1}$	Control
-	۷۴/۰۴	۶۵/۰۳	$J_{nr\_diff}(\%)$	
-	۳/۳۱	۱/۴۴	$J_{nr(\cdot,\cdot)}(kp)^{-1}$	
-	۵/۴۱	۲/۲۶	$J_{nr(\tau,\tau)}(kp)^{-1}$	% PNC
-	۶۳/۴۷	۵۷/۲۳	$J_{nr\_diff}(\%)$	
۴/۲۹	۲/۴۳	۱/۱۴	$J_{nr(\cdot,\cdot)}(kp)^{-1}$	
۷/۹۴	۳/۷۹	۱/۷۳	$J_{nr(\tau,\tau)}(kp)^{-1}$	% PNC
۶۱/۷۷	۰۵/۹۹	۵۱/۰۴	$J_{nr\_diff}(\%)$	
۳/۱۲	۱/۵۸	۰/۸۱	$J_{nr(\cdot,\cdot)}(kp)^{-1}$	
۴/۹۳	۲/۴۳	۱/۱۹	$J_{nr(\tau,\tau)}(kp)^{-1}$	% PNC
۵۸/۱۳۳	۵۳/۴۸	۴۷/۰۴	$J_{nr\_diff}(\%)$	
۲/۳۷	۱/۰۹	۰/۷	$J_{nr(\cdot,\cdot)}(kp)^{-1}$	
۳/۵۹	۱/۶	۰/۸۶	$J_{nr(\tau,\tau)}(kp)^{-1}$	% PNC
۵۱/۶۷	۴۶/۱۱	۴۳/۹	$J_{nr\_diff}(\%)$	
-	۳/۶۵	۱/۵۵	$J_{nr(\cdot,\cdot)}(kp)^{-1}$	
-	۵/۸۴	۲/۴۲	$J_{nr(\tau,\tau)}(kp)^{-1}$	% PU
-	۶۰/۲۵	۵۵/۸۷	$J_{nr\_diff}(\%)$	
۵/۰۲	۲/۶۲	۱/۲۲	$J_{nr(\cdot,\cdot)}(kp)^{-1}$	
۷/۹۹	۳/۹۹	۱/۸۲	$J_{nr(\tau,\tau)}(kp)^{-1}$	% PU
۵۹/۱۸	۵۲/۵۲	۴۸/۵۷	$J_{nr\_diff}(\%)$	
۴/۱۵	۲/۲	۰/۹۵	$J_{nr(\cdot,\cdot)}(kp)^{-1}$	
۷/۳۸	۳/۳۶	۱/۳۹	$J_{nr(\tau,\tau)}(kp)^{-1}$	% PU
۵۳/۷۶	۵۲/۹۸	۴۵/۹	$J_{nr\_diff}(\%)$	
۲/۹	۱/۲۹	۰/۶۸	$J_{nr(\cdot,\cdot)}(kp)^{-1}$	
۴/۳۷	۱/۸۷	۰/۹۳	$J_{nr(\tau,\tau)}(kp)^{-1}$	% PU
۵۰/۹	۴۵	۳۷/۵۶	$J_{nr\_diff}(\%)$	

بر اساس روش کار معرفی شده، نتایج حاصل و شیوه طبقه‌بندی نمونه‌های قیری در جدول ۵ نشان داده شده است. جدول ۶ نیز اثر دمای بر رتبه ترافیکی چسباننده‌های قیری در سطح‌های مختلف تنش را در این پژوهش نشان می‌دهد. بر اساس این جدول، نمونه‌های قیری با پلی یورتان ۸٪ و نانوکامپوزیت پلیمری ۸٪ دو رتبه سطح ترافیکی روسازی را نسبت به قیر خالص ارتقا بخشیدند و درجه عملکردی در دمای زیاد را از ۵۸ به ۷۰ درجه سلسیوس ارتقا داده و بهترین عملکرد را از خود نشان دادند.

### ۷-۳. تأثیر استفاده از اصلاح‌کننده‌ها بر رتبه ترافیکی چسباننده‌های قیری

استاندارد AASHTO M332 روش جدیدی است که طبقه‌بندی عملکردی قیر را بر اساس PG و MSCR ارائه می‌دهد. بر این اساس، دمای زیاد عملکردی با استفاده از روش شارپ مشخص می‌شود و سپس با بررسی پارامترهای  $J_{nr\_diff}$  و  $J_{nr(3.2)}$  سطح ترافیک پیشنهادی برای روسازی تعیین می‌گردد. همچنین، مقدار تغییر در کرنش تجمعی غیرقابل بازگشت بین دو سطح تنش ۱۰۰ و ۳۲۰۰ پاسکال را به ۷۵ درصد محدود کرده است.

جدول ۵. مشخصات رده‌بندی عملکردی قیرها بر اساس استاندارد AASHTO M332

حدود $J_{nr@3200}$	نوع	MSCR	بار تک محور هم ارز
$\leq 4.5 \text{ kPa}^{-1}$	S-استاندارد	> ۱۰ میلیون و بیش از سرعت ترافیک استاندارد (بیش از ۷۰ کیلومتر/ ساعت)	
$\leq 2 \text{ kPa}^{-1}$	H-سنگین	< ۱۰-۳۰ میلیون یا ترافیک کند (۲۰-۷۰ کیلومتر/ ساعت)	
$\leq 1 \text{ kPa}^{-1}$	V-بسیار سنگین	< ۳۰ میلیون یا ترافیک ایستا (کمتر از ۲۰ کیلومتر/ ساعت)	
$\leq 0.5 \text{ kPa}^{-1}$	E- فوق العاده سنگین	< ۳۰ میلیون یا ترافیک ایستا (کمتر از ۲۰ کیلومتر/ ساعت)	

آسفالتی ساخته شده با قیرهای اصلاح شده در این پژوهش در برابر خرابی‌های ناشی از شیارشدنگی خواهد شد. مقایسه این دو آزمایش در شکل ۸ نشان می‌دهد که رویه و جهت تغییرات  $R$  و  $G^*/\sin\delta$  در دمای های مختلف این تحقیق بسیار به هم نزدیک بوده و از بررسی‌ها مشخص شده که این نتایج از یک روند افزایشی هماهنگی برخوردارند که این روند افزایشی با افزایش درصد افزونی‌ها در این پژوهش صورت گرفته و عکس الگوی نتایج  $J_{nr}$  است که روند کاهشی دارد و تمامی نتایج را نیز با هم تطبیق می‌دهد.

### ۸-۳. مقایسه نتایج آزمایش‌های خزش و بازگشت در چند سطح تنش (MSCR) و رئومتر برش دینامیک (DSR)

خروجی‌های آزمایش DSR و MSCR و بررسی پارامتر شیارشدنگی  $G^*/\sin\delta$ ، نرمی خزشی بازگشت ناپذیر ( $J_{nr}$ ) و درصد بازگشت الاستیک ( $R$ ) در این پژوهش نشان می‌دهند که افزایش درصد اصلاح‌کننده‌ها در قیر خالص در بهبود نتایج و عملکرد در دمای زیاد نمونه‌های قیری تأثیری بسزایی داشته است. دلیل این افزایش نسبت بخش الاستیک به بخش ویسکوز ماده است که باعث افزایش انعطاف‌پذیری ماده و کاهش تغییرشکل‌های پلاستیک غیرقابل بازگشت شده و منجر به ایجاد مقاومت بیشتر مخلوط‌های

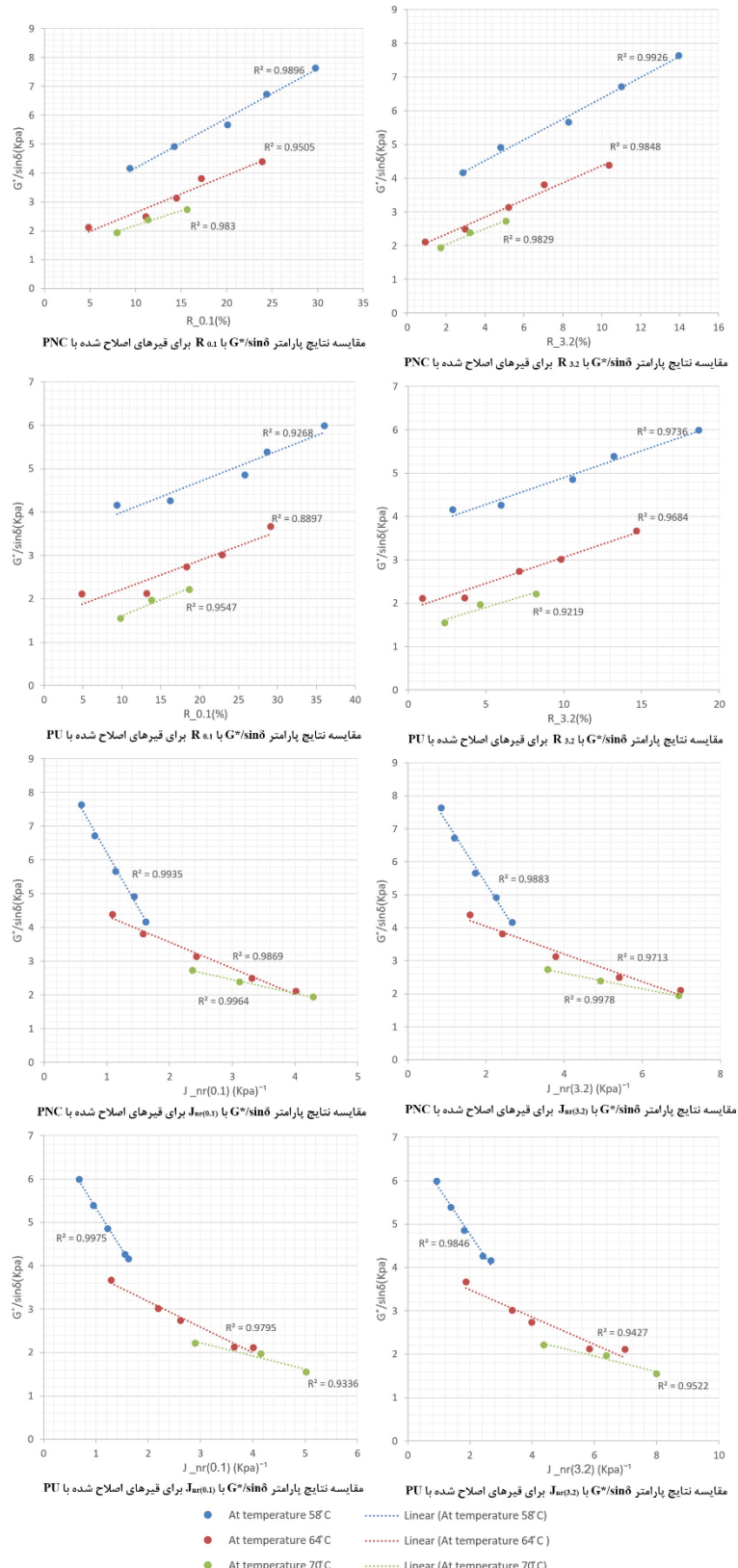
جدول ۶. اثر دما بر رتبه ترافیکی چسباننده‌های قیری

سطح دما										نوع چسباننده
۷۰ °C			۶۴ °C			۵۸ °C				
سطح ترافیک	J <sub>nr_dif</sub>	J <sub>nr(3.2)</sub>	سطح ترافیک	J <sub>nr_diff</sub>	J <sub>nr(3.2)</sub>	سطح ترافیک	J <sub>nr_dif</sub>	J <sub>nr(3.2)</sub>		
-	-	-	-	۷۴/۰۴	۶/۹۸	S	۶۵/۰۳	۲/۶۷	Control	
-	-	-	-	۶۳/۴۷	۵/۴۱	S	۵۷/۲۳	۲/۲۶	٪PNC	
-	۶۱/۷۶	۶/۹۴	S	۵۵/۹۹	۳/۷۹	H	۵۱/۵۴	۱/۷۳	٪PNC	
-	۵۸/۳۳	۴/۹۳	S	۵۳/۴۸	۲/۴۳	H	۴۷/۰۴	۱/۱۹	٪PNC	
S	۵۱/۶۷	۳/۵۹	H	۴۶/۱	۱/۰۹	V	۴۳/۸۸	۰/۸۶	٪PNC	
-	-	-	-	۶۰/۲۵	۵/۸۴	S	۵۵/۸۵	۲/۴۲	٪PU	
-	۵۹/۱۸	۷/۹۹	S	۵۲/۵۲	۳/۹۹	H	۴۸/۵۷	۱/۸۲	٪PU	
-	۵۳/۷۵	۶/۳۸	S	۵۲/۹۸	۳/۳۶	H	۴۵/۹	۱/۳۹	٪PU	
S	۵۰/۹	۴/۳۷	H	۴۵	۱/۸۷	V	۳۷/۵۵	۰/۹۳	٪PU	

بررسی نتایج آزمون DSR در دماهای میانی مشخص می‌شود که استفاده از اصلاح‌کننده‌ها تا ۶ درصد محدود می‌شود چرا که نتایج این آزمون برای بررسی پارامتر خستگی در ۶ درصد بهترین نتیجه را در هر دو نوع نمونه اصلاح‌شده از خود نشان می‌دهد. همچنین، با دقیق در شکل ۸، مشاهده می‌شود که همبستگی خطی پارامترهای شیار شدگی برای نمونه‌های اصلاح شده با نانوکامپوزیت پلیمری نسبت به نمونه‌های اصلاح شده با پلی‌یورتان بهتر بوده است.

این الگوها بیانگر این موضوع هستند که خروجی‌های آزمایش DSR و MSCR با یکدیگر موافق بوده و همبستگی خطی بسیار خوبی نیز میان پارامترهای این آزمایش‌ها وجود دارد. بر این اساس، همانطور که افزایش درصد اصلاح‌کننده‌ها باعث بهبود پارامتر شیارشدنگی در آزمون DSR شده است، در آزمون MSCR نیز همین نتایج تکرار شده و افزایش اصلاح‌کننده‌ها به قیر باعث بهبود پارامتر J<sub>nr(3.2)</sub> شده است و در هر دو آزمایش بهترین نمونه قیری مربوط به نمونه‌های با ۸ درصد اصلاح‌کننده می‌باشد. البته با

## بررسی تأثیر استفاده از نانوکامپوزیت پلی یورتانی بر اصلاح خواص قیر

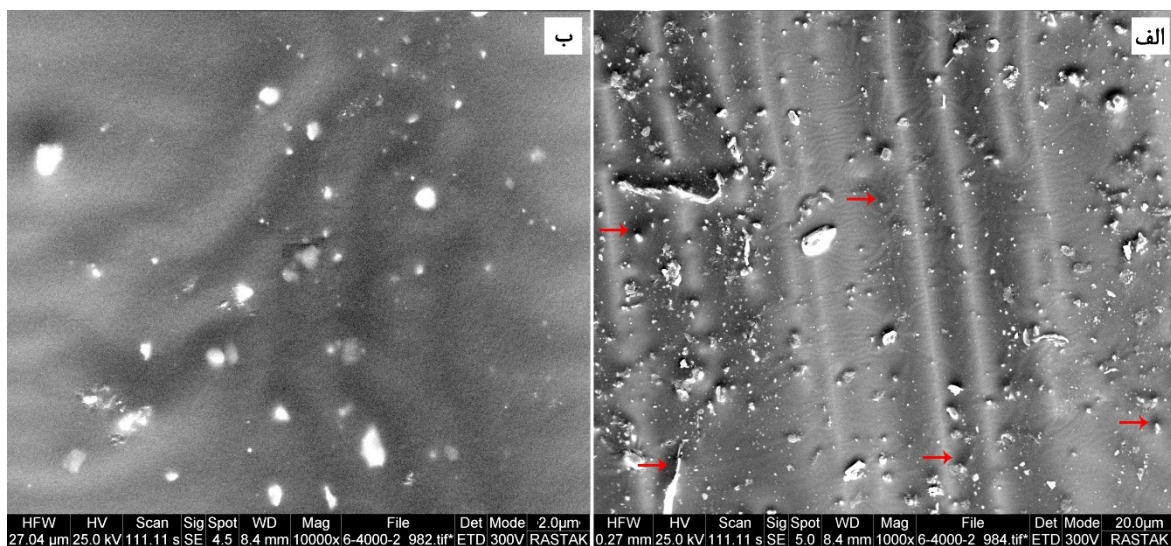


شکل ۸ همبستگی خطی پارامترهای شیارشده‌گی آزمایش DSR و MSCR برای نمونه‌های قیری اصلاح شده با پلی یورتان ستر شده و نانو کامپوزیت پلیمری

و با اندازه کوچک در ملات قیر به دست آمده است. در زمان وارد شدن تنفس، پلی‌یورتان می‌تواند بخشی از انرژی را جذب کرده و انتقال تنفس را انجام دهد (ژین و همکاران، ۲۰۲۰). نانوکامپوزیت مخلوط شده با قیر در کل ماتریس قیر پخش شده و تجمع در نقطه خاصی مشاهده نشد و قیر اصلاح شده با نانوکامپوزیت پلیمری به صورت یکنواخت نانوکامپوزیت را در برگرفته و ریز ساختار سطح به صورت شیاردار مشاهده می‌شود. نتایج آزمون SEM حاکی از پخش مناسب نانوکامپوزیت‌ها در قیر بوده و می‌توان نتیجه گرفت که واکنش شیمیایی بین پلی‌یورتان منتهی به گروه ایزوسیانات و قیر رخ داده و شبکه‌ای بین پلیمر و قیر تشکیل شده است.

### ۹-۳. بررسی مورفوولوژی

جهت بررسی مورفوولوژی نمونه‌های تهیه شده و پخش اصلاح‌کننده در ماتریس قیر، آزمون SEM انجام گرفت و نتایج آن در شکل ۹ نشان داده شده است. نتایج این آزمون نشان داد که نمونه بررسی شده دارای سطحی فشرده و یکنواخت می‌باشد. حفرات ریز مشاهده شده در نمونه، ناشی از حضور حلال باقی مانده در زمان انحلال پلی‌یورتان است (که در شکل با پیکان‌های قرمز نشان داده شده است) و زیری مشاهده شده در اثر افزوده شدن نانوکامپوزیت به قیر ایجاد شده است. علاوه بر این، می‌توان نتیجه گرفت که ماتریس قیر برهمکنشی قوی با نانوکامپوزیت ایجاد کرده است. همچنین، بررسی مورفوولوژی نشان داد که توزیعی نسبتاً یکنواخت از اصلاح‌کننده در ساختار قیر و لخته‌های کم



شکل ۹. میکروگراف‌های نمونه قیر و نانوکامپوزیت پلی‌یورتان/CNT در بزرگنمایی (الف) ۲۰ میکرومتر و (ب) ۲ میکرومتر (فلش‌های قرمز نمایانگر حفرات خروج حلال است)

به گروه عاملی ایزوسیانات/CNT انجام شد. نتایج بررسی مورفوولوژی حاصل از نمونه‌ها نشان‌دهنده توزیع یکنواخت نانوکامپوزیت در ماتریس قیر بود که منجر به بهبود خواص قیر از جمله خواص مکانیکی و چسبندگی شد. این مسئله با انجام آزمون کشش تأیید و بر اساس

### ۴. نتیجه‌گیری

در این تحقیق، با هدف بهبود مشکلات قیر، از جمله ترک‌خوردگی، محدودیت پایداری حرارتی و عدم انعطاف‌پذیری و بهبود خواص مکانیکی، حرارتی و عملکردی قیر، اصلاح با نانوکامپوزیت پلی‌یورتان منتهی

اصلاح شده با نانو کامپوزیت پلیمری PNC شده است. با بررسی پارامتر شیارشدنگی در آزمایش DSR و MSCR مشخص شد که این نتایج بر اساس همبستگی خطی قوی بین آنها، کاملاً همسو بوده و نتایج همبستگی PNC خطی در خروجی‌های نمونه اصلاح شده با مشهودتر است. همچنین، بهترین نتایج در هر دو آزمون مربوط به نمونه‌های با ۸ درصد اصلاح کننده بوده که با بررسی پارامتر خستگی در آزمون DSR برای دماهای میانی میزان درصد اصلاح کننده تا ۶ درصد محدود شدند و در نهایت بهترین نتیجه با در نظر گرفتن دماهای متوسط و زیاد مربوط به نمونه‌های با ۶ درصد اصلاح کننده PU و PNC می‌باشد.

بررسی نتایج آزمون MSCR نشان می‌دهد که اصلاح کننده PNC در بهبود پارامترهای  $J_{nr}$  و R نسبت به اصلاح کننده PU بهتر بوده اما مقادیر  $J_{nr-diff}$  بیانگر این است که حساسیت تغییرات در سطوح تنفس برای نمونه‌های اصلاح شده با PU نسبت به نمونه‌های اصلاح شده با PNC کمتر بوده است.

با توجه به رتبه‌های ترافیکی بهدست آمده، بهترین نتایج مربوط به نمونه‌های اصلاح شده با ۸ درصد PU و PNC بوده که دو درجه دمای عملکردی قیر شاهد را بهبود بخشیدند. البته با توجه به محدود شدن میزان اصلاح کننده‌ها تا ۶ درصد، با در نظر گرفتن آزمون DSR برای دماهای میانی و بررسی خصوصیات خستگی، رتبه ترافیکی در ۶ درصد قیرهای اصلاح شده با PNC و PU نیز افزایش داشته و هر کدام یک رتبه سطح ترافیکی را بهبود دادند.

نتایج حاصل، با افزایش میزان CNT در فرمولاسیون از ۰/۵ به ۱/۵ درصد، استحکام کششی ۸ درصد و مدول یانگ ۱۲۵ درصد افزایش یافت که نشانگر بهبود خواص مکانیکی قیر در حضور نانوکامپوزیت می‌باشد. همچنین، در حضور نانوکامپوزیت حاوی ۱/۵ درصد CNT در قیر، خاکستر باقیمانده از فرآیند تخریب در آزمون TGA برابر ۱۱ درصد بود. همچنین، با بررسی آزمون‌های DSR و MSCR که روی نمونه‌های اصلاح شده با پلی یورتان (PU) و نانوکامپوزیت پلیمری (PNC) انجام گردید نتایج زیر به دست آمده است:

بر اساس نتایج آزمون DSR، افزایش اصلاح کننده‌های PU و PNC در قیر باعث بهبود خصوصیات شیارشدنگی شده و بیانگر این موضوع است که اصلاح کننده‌ها با تشکیل زنجیره یورتانی بین پلیمر و قیر و انتقال خصوصیات ویسکوالاستیک PU در قیر باعث افزایش الاستیتیه در قیر شده‌اند. میزان افزایش پارامتر شیارشدنگی برای نمونه‌های اصلاح شده برای دماهای ۵۸، ۶۴ و ۷۰ درجه سلسیوس در قیر شاهد به ترتیب از ۴/۱۶، ۴/۱۱ و ۰/۹۴ کیلوپاسکال به ۷/۶۴، ۷/۶۴ و ۲/۷۳ کیلوپاسکال برای قیر اصلاح شده با ۸ درصد PNC و ۵/۹۹، ۳/۶۷ و ۲/۲۱ کیلوپاسکال برای قیر اصلاح شده با ۸ درصد PU می‌باشد. لیکن، در نهایت، قیرهای اصلاح شده با PNC نسبت به نمونه‌های اصلاح شده با PU از نتایج بهتری برخوردار بودند.

علاوه بر موارد بالا، به دلیل تشکیل شبکه سه‌بعدی حاصل از بهکاربردن CNT در نانوکامپوزیت پلیمری PNC و اثر آن در قیر اصلاح شده، باعث بهبود افزایش مقاومت در برابر خستگی در قیر، خصوصاً در قیرهای

## ۵. مراجع

- Abedi, M., Fangueiro, R. and Correia, A. G. 2021. "A review of intrinsic self-sensing cementitious composites and prospects for their application in transport infrastructures". Constr. Build. Mater., 310: 125139.
- Ashish, P. K. and Singh, D. 2021. "Use of nanomaterial for asphalt binder and mixtures: a comprehensive review on development, prospect, and challenges". Road Mater. Pavement Design, 22: 492-538.
- Behnood, A. and Gharehveran, M. M. 2019. "Morphology, rheology, and physical properties of polymer-

- modified asphalt binders". *Eur. Polym. J.*, 112: 766-791.
- Brasileiro, L., Moreno-Navarro, F., Tauste-Martínez, R., Matos, J. and Rubio-Gámez, M. D. C. 2019. "Reclaimed polymers as asphalt binder modifiers for more sustainable roads: A review". *Sustain.*, 11: 646.
- Caputo, P., Porto, M., Angelico, R., Loise, V., Calandra, P. and Rossi, C. O. 2020. "Bitumen and asphalt concrete modified by nanometer-sized particles: Basic concepts, the state of the art and future perspectives of the nanoscale approach". *Adv. Colloid Interf. Sci.*, 285: 102283.
- Cardone, F., Frigio, F., Ferrotti, G. and Canestrari, F. 2015. "Influence of mineral fillers on the rheological response of polymer-modified bitumens and mastics". *J. Traffic Transport. Eng. (English edition)*, 2: 373-381.
- Carrera, V., Cuadri, A., García-Morales, M. and Partal, P. 2015. "The development of polyurethane modified bitumen emulsions for cold mix applications. *Mater. Struct.*, 48: 3407-3414.
- Cong, L., Yang, F., Guo, G., Ren, M., Shi, J. and Tan, L. 2019. "The use of polyurethane for asphalt pavement engineering applications: A state-of-the-art review". *Constr. Build. Mater.*, 225: 1012-1025.
- Cuadri, A., García-Morales, M., Navarro, F. and Partal, P. 2014. "Processing of bitumens modified by a bio-oil-derived polyurethane". *Fuel*, 118: 83-90.
- Eisa, M. S., Mohamady, A., Basiouny, M. E., Abdulhamid, A. and Kim, J. R. 2022. "Mechanical properties of asphalt concrete modified with carbon nanotubes (CNTs)". *Case Stud. Constr. Mater.*, 16: e00930.
- Ghoreishi, A., Koosha, M. and Nasirizadeh, N. 2020. "Modification of bitumen by EPDM blended with hybrid nanoparticles: Physical, thermal, and rheological properties". *J. Thermoplastic Compos. Mater.*, 33: 343-356.
- Gong, X., Liu, Q., Liu, X., Wan, P., Jiang, P., Chen, S., Wang, H. and Wu, S. 2023. "Green synthesis of end-capped polyurethane prepolymer with high storage stability and its effects on bitumen properties". *Constr. Build. Mater.*, 401: 132860.
- Hamed, G. H., Saedi, D. and Ghahremani, H. 2020. "Effect of short-term aging on low-temperature cracking in asphalt mixtures using mechanical and thermodynamic methods". *J. Mater. Civ. Eng.*, 32: 04020288.
- Huang, G., Yang, T., He, Z., Yu, L. and Xiao, H. 2022. "Polyurethane as a modifier for road asphalt: A literature review". *Constr. Build. Mater.*, 356: 129058.
- Jin, X., Guo, N., You, Z., Wang, L., Wen, Y. and T., Y. 2020. "Rheological properties and micro-characteristics of polyurethane composite modified asphalt". *Constr. Build. Mater.*, 234: 117395.
- Kök, B. V., Aydoğmuş, E., Yilmaz, M. and Akpolat, M. 2021. "Investigation on the properties of new palm-oil-based polyurethane modified bitumen". *Constr. Build. Mater.*, 289: 123152.
- Li, T., Carreño Gómez, N. H., Lu, G., Liang, D., Wang, D. and Oeser, M. 2021a. "Use of polyurethane precursor-based modifier as an eco-friendly approach to improve performance of asphalt". *J. Transport. Eng., Part B: Pavements*, 147: 04021031.
- Li, Z., Yu, X., Liang, Y. and Wu, S. 2021b. "Carbon nanomaterials for enhancing the thermal, physical and rheological properties of asphalt binders". *Mater.*, 14(10): 2585.
- Liu, H., Zeiada, W., Al-Khateeb, G. G., Shanableh, A. and Samara, M. 2021. "Use of the multiple stress creep recovery (MSCR) test to characterize the rutting potential of asphalt binders: A literature review". *Constr. Build. Mater.*, 269: 121320.
- Liu, H., Zhang, Z., Zhu, Y., Sun, J., Wang, L., Huang, T. and Chen, L. 2022. "Modification of asphalt using polyurethanes synthesized with different isocyanates". *Constr. Build. Mater.*, 327: 126959.
- Mallick, R. B. and El-Korchi, T. 2022. "Pavement engineering: principles and practices". CRC Press.
- Masad, E., Roja, K. L., Rehman, A. and Abdala, A. 2020. "A review of asphalt modification using plastics: A focus on polyethylene". Texas A&M University: Qatar, Doha.
- Masri, T. D. K. A., Ferdaus, R. and Ramadhansyah, P. 2022. "Sustainable use of polymer in asphalt mixture: A review". *Constr.*, 2: 12-21.
- Mersha, D. A. and Sendekie, Z. B. 2022. "High-temperature performance enhancement of bitumen by waste PET-derived polyurethane". *Adv. Mater. Sci. Eng.*, 2022.
- Mohanty, D., Mohanty, S. and Kanny, K. 2023. "Synthesis of castor oil-based polyols applicable in acrylated polyurethane coating with improved mechanical properties". *Polym. Int.*, 72: 230-242.
- Porto, M., Caputo, P., Loise, V., Eskandarsefat, S., Teltayev, B. and Oliviero Rossi, C. 2019. "Bitumen and bitumen modification: A review on latest advances". *Appl. Sci.*, 9: 742.
- Rahman, M. 2016. "Highway engineering-pavement, materials, and control of quality". Proceedings of the Institution of Civil Engineers-Transport, Thomas Telford Ltd.
- Samal, K., Guler, M., Daniyar, B., Zhanar, K. and Aigul, K. 2022. "The polymer effects on bitumen performance properties in Kazakhstan". *Geomate J.*, 23: 34-43.
- Stern, T. 2019. "Conclusive chemical deciphering of the consistently occurring double-peak carbonyl-stretching FTIR absorbance in polyurethanes". *Polym. Adv. Technol.*, 30: 675-687.

- Tang, Y., Fu, Z., Raos, G., Ma, F., Zhao, P. and Hou, Y. 2023. "Molecular dynamics simulation of adhesion at the asphalt-aggregate interface: A review". *Surfaces Interfaces*: 103706.
- Ul Haq, M. F., Ahmad, N., Nasir, M. A., Jamal, Hafeez, M., Rafi, J., Zaidi, S. B. A. and Haroon, W. 2018. "Carbon nanotubes (CNTs) in asphalt binder: Homogeneous dispersion and performance enhancement". *Appl. Sci. (Switzerland)*, 8: 1-19.
- Wang, C., Chen, X., Xie, H. and Cheng, R. 2011. "Effects of carbon nanotube diameter and functionality on the properties of soy polyol-based polyurethane". *Compos. Part A: Appl. Sci. Manuf.*, 42: 1620-1626.
- Wang, Y., Wang, W. and Wang, L. 2022. "Understanding the relationships between rheology and chemistry of asphalt binders: A review". *Constr. Build. Mater.*, 329: 127161.
- Wei, K., Ma, B. and Duan, S. 2019. "Preparation and properties of bitumen-modified polyurethane solid–solid phase change materials". *J. Mater. Civ. Eng.*, 31: 04019139.
- Xin, X., Yao, Z., Shi, J., Liang, M., Jiang, H., Zhang, J., Zhang, X. and Yao, K. 2020. "Rheological properties, microstructure and aging resistance of asphalt modified with CNTs/PE composites". *Constr. Build. Mater.*, 262: 120100.
- Xue, Y., Liu, C., Lv, S., Ge, D., Ju, Z. and Fan, G. 2022. Research on rheological properties of CNT-SBR modified asphalt". *Constr. Build. Mater.*, 361: 129587.
- Yang, Q., Liu, Q., Zhong, J., Hong, B., Wang, D. and Oeser, M. 2019. "Rheological and micro-structural characterization of bitumen modified with carbon nanomaterials". *Constr Build. Mater.*, 201: 580-589.
- Yang, S., Bieliatynskyi, A., Pershakov, V., Shao, M. and Ta, M. 2022. "Asphalt concrete based on a polymer-bitumen binder nanomodified with carbon nanotubes for road and airfield construction". *J. Polym. Eng.*, 42: 458-466.
- Zhambolova, A., Vocaturo, A. L., Tileuberdi, Y., Ongarbayev, Y., Caputo, P., Aiello, I., Rossi, C. O. and Godbert, N. 2020. "Functionalization and modification of bitumen by silica nanoparticles". *Appl. Sci. (Switzerland)*, 10: 6065.
- Zhang, L., Li, P., Hu, G., Zhang, S., Hong, B., Wang, H., Wang, D. and Oeser, M. 2021. "Study on the aging resistance of polyurethane precursor modified bitumen and its mechanism". *Sustain.*, 13: 9520.
- Zhu, J., Ghafoori, E. and Dinegdae, Y. 2020. "Characterization of asphalt mixtures and bitumen to minimize shear-related distresses in asphalt pavement: State of the art, series". *Trafikverkets forskningsportföljer*.

